

论著

文章编号:1000-5404(2005)15-1548-03

蝎素 SVCⅢ对人皮肤T细胞淋巴瘤细胞系Hut-78增殖及凋亡的影响

田中伟^{1,2},宋向凤²,冯捷¹ (¹西安交通大学第二医院皮肤科,西安 710004; ²河南省新乡医学院基础医学院免疫学教研室,新乡 453003)

提要:目的 探讨中药蝎素 SVCⅢ对人皮肤T细胞淋巴瘤 Hut-78 细胞增殖的抑制作用及其诱导凋亡作用。方法 将蝎素以不同浓度分别加入对数期生长的人皮肤T细胞淋巴瘤细胞 Hut-78 细胞中,通过 MTT 法、DNA 凝胶电泳和 FACS 分析其抑制作用和诱导凋亡作用。结果 蝎素对人皮肤T细胞淋巴瘤细胞株有明显的抑制作用,DNA 电泳显示有凋亡特征的“梯状”条带出现,经 FACS 检测发现细胞周期被阻止在 G₁ 期。结论 蝎素能够抑制人皮肤淋巴瘤细胞的增殖并能诱导凋亡,提示蝎素可能有抗皮肤肿瘤的作用。

关键词:蝎素;皮肤淋巴瘤细胞;细胞凋亡;MTT

中图法分类号: R282.74; R730.23; R733.4

文献标识码: A

Effect of SVCⅢ on the proliferation and apoptosis of human cutaneous T-cell lymphoma Hut-78 cells

TIAN Zhong-wei^{1,2}, SONG Xiang-feng², FENG Jie¹(¹Department of Dermatology, The Second Hospital of Xi'an Jiaotong University, Xi'an 710004, ²Department of Immunology, School of Basic Medical Sciences, Xinxiang Medical College, Xinxiang 453003, China)

Abstract: Objective To explore the inhibition and apoptosis of the human cutaneous T-cell lymphoma cell lines Hut-78 by traditional Chinese medicine SVCⅢ. Methods After Hut-78 cells were treated with SVCⅢ of different concentration, the inhibition and apoptosis of Hut-78 cells was determined by MTT, agarose gel electrophoresis of DNA fragment and FACS. Results SVCⅢ could inhibit remarkably Hut-78 cells growth and DNA ladder was seen by agarose gel electrophoresis. The proliferation of Hut-78 cells were inhibited in G₁ stage by FACS. Conclusion SVCⅢ can promote growth retardation and apoptosis of human cutaneous T-cell lymphoma cell lines Hut-78, which suggests SVCⅢ has antineoplastic function.

Key words: SVCⅢ;cutaneous lymphoma cells;apoptosis;MTT

研究表明中药全蝎及蝎毒有息风止痛、通经活络、攻毒散节等功效,其中起主要作用的是蝎毒中的蝎毒组分Ⅲ(scorpion venom crude Ⅲ,SVCⅢ),其含有蛋白质、透明质酸酶、生物胺等成分,主治风湿、心脑血管病、皮肤病、半身不遂、各类炎症。它对肝癌细胞、胃癌细胞及多种细胞系等有明显的抑制作用^[1,2]。本研究探讨蝎素对人皮肤T细胞淋巴瘤 Hut-78 细胞的抑制作用及其诱导凋亡作用。

1 材料与方法

1.1 材料

蝎素 SCVⅢ由新乡医学院分析与测试实验室提供,用生理盐水配制成相应的实验所需浓度。人皮肤T细胞淋巴瘤细胞

株 Hut-78 来自中国科学院上海生物化学和细胞生物研究所。噻唑蓝(MTT)、RPMI1640 购自 GIBCO 公司。

1.2 细胞培养

Hut-78 细胞悬浮生长在 10% 小牛血清的 RPMI 1640 细胞培养液中,在 5% CO₂、37 ℃、饱和湿度条件下培养,2~3 d 传代 1 次。

1.3 MTT 实验

取对数期生长的细胞,调整细胞浓度为 $1 \times 10^6/\text{ml}$,接种于 24 孔培养板中,每孔体积为 1 ml。共分 5 组,每组设 3 个平行孔,1 组加生理盐水作为对照,另 3 组分别加入不同浓度的蝎素 SCVⅢ 0.1、1、10 $\mu\text{g}/\text{L}$,并设空白对照,然后将培养板移入 5% CO₂、37 ℃ 的培养箱中继续培养 72 h。培养 72 h 后,每孔加入 MTT(5 mg/ml)100 μl ,4 h 后离心收集细胞,加入 250 μl DMSO 充分裂解细胞,用酶标仪在 492 nm 和 620 nm 波长下测定光密度值(A),重复 3 次。

$$\text{抑制率}(\%) = [(A_{\text{对照}} - A_{\text{实验}}) / (A_{\text{对照}} - A_{\text{空白}})] \times 100\%$$

作者简介:田中伟(1971-),男,河南省驻马店市人,博士研究生,讲师,主要从事皮肤肿瘤及分子免疫病理学方面的研究,发表论文 10 余篇。

电话:(0373)3029125,E-mail: zhonwt@163.com

收稿日期:2004-10-08;修回日期:2005-04-20

万方数据

1.4 细胞DNA片段化分析

收集细胞,加入细胞裂解液(50 mmol/L Tris、40 mmol/L EDTA、1.6 g/L SDS),充分混匀,加入RNA酶0.1 g/L,50℃孵育30 min,再用蛋白酶K 1 g/L,37℃孵育4 h,70℃加热10 min,然后2.0%琼脂糖凝胶进行电泳。

1.5 流式细胞仪检测凋亡细胞周期和凋亡率

不同浓度的蝎素SCVⅢ作用于培养的细胞48 h后,离心收集细胞,70%乙醇固定,4℃过夜,离心去上清,悬浮于PBS中,碘化丙啶(PI)处理后,于EPSCI流式细胞仪分析。

1.6 统计学处理

计量资料以 $\bar{x} \pm s$ 表示,采用SPSS 11.0统计软件,行F检验。

2 结果

2.1 蝎素抑制细胞的增殖

不同浓度的蝎素对Hut-78细胞有抑制作用,浓度越大,抑制作用越强,见表1。

表1 不同浓度的蝎素对Hut-78细胞增殖作用的影响

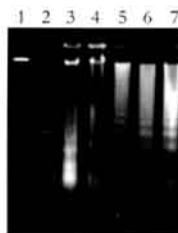
Tab 1 Effects of SVCⅢ of different concentration on Hut-78 cells

Group	D(570)	Inhibition rate (%)
Blank	0.34 ± 0.08	0
Control	2.36 ± 0.23	0
SVCⅢ		
0.1 μg/L	1.87 ± 0.18 *	24.37
1 μg/L	1.64 ± 0.21 *	36.63
10 μg/L	1.23 ± 0.17 *	55.94

* : F = 53.077, P < 0.01, vs control

2.2 凋亡DNA琼脂糖凝胶电泳

细胞基因组DNA提取后,1.8%琼脂糖凝胶电泳可见凋亡DNA特征的“梯状”条带,浓度越高琼脂糖凝胶电泳凋亡DNA特征越明显,阴性对照仅在近电泳点样处出现基因组条带(图1)。



1: Control; 2: 100 bp DNA marker; 3,4: 0.1 μg/L; 5,6: 1 μg/L; 7: 10 μg/L SVCⅢ

图1 凋亡DNA琼脂糖凝胶电泳结果

Fig 1 Agarose gel electrophoresis of DNA fragment

2.3 流式细胞仪检测凋亡细胞周期和凋亡率

FACS检测结果显示,经不同浓度的蝎素处理后,细胞呈现典型的凋亡峰,细胞周期被阻止在G₁期,而且凋亡率随着药物浓度的增高而增高(表2)。

表2 不同浓度蝎素处理后的FACS的检测结果

Tab 2 FACS results of Hut 78 after treatment by SVCⅢ of different concentration

Group	Cell cycle (%)			Apoptosis rate (%)
	G ₀ /G ₁	S	G ₂ /M	
Control	36.27 ± 3.36	22.28 ± 2.25	41.58 ± 2.38	5.2
SVCⅢ				
0.1 μg/L	44.34 ± 1.29	24.56 ± 1.63	31.52 ± 1.72 *	7.5
1 μg/L	49.26 ± 2.02	25.82 ± 2.78	25.02 ± 1.96 **	10.8
10 μg/L	52.45 ± 2.16	25.56 ± 1.73	22.21 ± 1.18	11.6

* : P < 0.05; ** : P < 0.01, vs control

3 讨论

目前对于肿瘤的治疗除了手术和放疗以外,主要采用化疗方法,虽然生物治疗和基因治疗也在临床应用,但绝大部分仍处于实验阶段,皮肤肿瘤的治疗也是如此。临幊上常用的化疗药物固然可使得大多数肿瘤患者得到缓解,但很大程度上病人都忍受着强度不等的毒副作用。因此从毒副作用较小的中药中寻找新的抗癌药物是一个发展方向,并且很多中草药已经临幊证实有着较好的抗肿瘤作用。全蝎及蝎毒是临幊上常用的一种中药,具有熄风止惊、解毒散结、消肿止痛的功效。其中起主要药理作用的蝎毒组分Ⅲ是从河南马氏钳蝎毒中分离出的一种成分,国内外学者已证实SCVⅢ对人早幼粒白血病细胞株HL60、人食管癌细胞Eca109、人宫颈癌细胞HeLa及人肝细胞癌细胞株SMMC7721、人低分化鼻咽上皮癌细胞株CNE2Z和人胃癌细胞株MGC803、白血病细胞等多种肿瘤细胞及细胞系有显著的细胞毒性作用。近期许多研究也表明蝎素不但具备细胞毒性作用,还有重要的生物应答调节剂的作用,可显著增强小鼠的免疫功能,促进T淋巴细胞的转化和TNF-α的分泌,使用药量显著减少并可增强其它抗肿瘤药物的效应^[3~7]。

本研究选择皮肤T细胞淋巴瘤的细胞株Hut-78细胞为研究对象,将不同浓度的蝎素直接作用于Hut-78细胞。MTT法检测显示,3个不同浓度的蝎素对Hut-78细胞均有细胞毒作用,能明显抑制细胞的生长,引起细胞的凋亡,通过对细胞DNA琼脂糖凝胶电泳分析,可见有凋亡特征的“梯状”条带出现。经FACS法检测显示细胞的生长被阻止在G₁期,而且蝎素的这种作用还具有剂量依赖性,即随浓度的增加而显示出较强的抑制作用。但是在研究蝎素对肿瘤细胞的杀伤作用时,用药量较实际临床应用量要大得多,由于蝎素在发挥抗肿瘤作用的同时,对人体正常细胞也存在一定的毒性,所以临幊应用蝎毒治疗肿瘤的原则是采用高效的较低浓度,关于方面的研究仍需做进

一步的探索。另外,迄今为止蝎毒的抗肿瘤作用机制尚未完全清楚。本研究结果提示:蝎素可以通过诱导肿瘤细胞发生凋亡而抑制其生长。为蝎素在皮肤肿瘤方面的临床治疗提供实验依据。

参考文献:

- [1] 董伟华, 韩雪飞, 魏玲, 等. 蝎毒抗癌多肽对肝肿瘤的抑制作用研究[J]. 中国病理生理杂志, 2000, 16(2): 123-127.
- [2] 沈东海, 高春芳, 王元和, 等. 蝎毒对人大肠癌细胞株体外抑制杀伤作用的观察[J]. 实用癌症杂志, 2002, 17(4): 339-340, 343.
- [3] 卢娜, 王辉, 杨献军, 等. 蝎毒组分Ⅲ对人头颈部鳞状细胞癌细胞生长的影响[J]. 中国临床药理学与治疗学, 2002, 7(6): 515-517.

[4] Liu Y F, Ma R L, Wang S L, et al. Expression of an antitumor-analgesic peptide from the venom of Chinese scorpion *Buthus martensi karsch* in *Escherichia coli*[J]. Protein Expr Purif, 2003, 27(2): 253-258.

[5] 杨建斌, 李晓雯, 董伟华, 等. 东亚钳蝎毒抗癌多肽对H22荷瘤小鼠免疫调节作用[J]. 中国中药杂志, 2000, 25(12): 736-739.

[6] Lyons S A, O'Neal J, Sontheimer H. Chlorotoxin, a scorpion-derived peptide, specifically binds to gliomas and tumors of neuroectodermal origin[J]. Glia, 2002, 39(2): 162-173.

[7] 王辉, 董珂, 孙书明, 等. 蝎素SCVⅢ对荷瘤小鼠淋巴细胞转化及TNF-α水平的影响[J]. 细胞与分子免疫学杂志, 2002, 18(5): 505-506.

(编辑 刘洪娥)

个案与短篇

文章编号:1000-5404(2005)15-1550-01

分娩启动宫缩时产妇血清及羊水中糖皮质激素改变

Glucocorticoid levels in serum and amniotic fluid at uterine contraction in delivery

陈明, 李正非, 齐心 (遵义医学院附属医院妇产科, 遵义 563003)

分娩启动是一个十分复杂的生理过程, 包括子宫体肌细胞及子宫内膜等在内的诸多因素已经被广为研究。大量研究表明, 糖皮质激素是启动分娩的重要激素^[1], 成人血清中的糖皮质激素有着周期性的变化, 本研究探讨足月妊娠妇女分娩启动宫缩时血清及羊水中糖皮质激素的变化。

1 资料与方法

1.1 研究对象及分组

选择2001年1月至2003年1月于我科住院的单胎足月妊娠妇女90例作为研究对象。根据产妇的宫缩情况不同分为: ①无宫缩组($n=30$): 产妇年龄(28±4)岁, 孕周(39±1)周, 产妇无阵痛, 胎心监护仪显示无宫缩, 肛查宫口未开(无宫缩组因产道、胎位及社会因素行剖宫产手术); ②宫缩正常组($n=30$): 产妇年龄(27±3)岁, 孕周(39±2)周, 自然临产, 胎心监护仪显示有规律宫缩, 宫口扩张, 产程进展顺利; ③宫缩乏力组($n=30$): 产妇年龄(27±3)岁, 孕周(39±2)周, 产妇于产程开始即出现宫缩乏力, 每10 min宫缩1~2次, 持续时间<30 s, 强度(+), 胎心监护仪显示宫内压<15 mmHg(1 mmHg=0.133 kPa), 宫口扩张停滞。3组又根据采集标本的时间不同, 分为上午组及下午组。3组产妇的年龄、孕周及新生儿体质量

比较, 差异无显著性意义($P>0.05$)。3组产妇均无病理妊娠及妊娠并发症, 产程中无特殊用药。

1.2 方法

1.2.1 标本的采集 无宫缩组产妇于剖宫产麻醉用药前抽取前臂静脉血3 ml, 剖宫产手术时抽取羊水3 ml, 宫缩乏力组及宫缩正常组均于产程活跃期抽取前臂静脉血及经阴道各抽取羊水3 ml。

1.2.2 检测方法 应用化学发光免疫法测定3组产妇血清及羊水中的糖皮质激素水平。检测试剂盒由美国DPC公司提供。

1.2.3 统计学方法 采用SPSS 10.0统计学软件包行F检验、t及t'检验。

2 结果

在宫缩乏力组及宫缩正常组, 血清及羊水中的糖皮质激素值上下午比较, 均无显著性差异($P>0.05$), 而在无宫缩组, 有显著性差异($P<0.05$), 结果见表1。

表1 各组血清及羊水中糖皮质激素的变化
($C_B/\text{mmol} \cdot \text{L}^{-1}$, $n=15$, $\bar{x} \pm s$)

组别	血清		羊水	
	上午	下午	上午	下午
无宫缩组	404.67±238.83	174.77±165.03*	364.00±238.98	56.73±22.84*
宫缩正常组	965.47±411.47	1045.77±282.0	689.29±265.88	643.19±243.01
宫缩乏力组	236.55±148.72	160.65±67.48	210.73±117.82	100.51±75.89

*: $P<0.05$, 与上午比较

(下转1554页)

基金项目:贵州省卫生厅遵义市科学技术计划资助项目(E-012)
Supported by Science and Technology Research Plan of Health Bureau of Guizhou Province (E-012)

作者简介:陈明(1963-),女,贵州省遵义市人,副主任医师,主要从事产科产力方面的研究。电话:(0851)8608466

收稿日期:2005-04-04;修回日期:2005-06-08

蝎素SVCIII对人皮肤T细胞淋巴瘤细胞系Hut-78增殖及凋亡的影响

作者:

田中伟, 宋向凤, 冯捷, TIAN Zhong-wei, SONG Xiang-feng, FENG Jie

作者单位:

田中伟, TIAN Zhong-wei(西安交通大学第二医院皮肤科, 西安, 710004; 河南省新乡医学院基础医学院免疫学教研室, 新乡, 453003), 宋向凤, SONG Xiang-feng(河南省新乡医学院基础医学院免疫学教研室, 新乡, 453003), 冯捷, FENG Jie(西安交通大学第二医院皮肤科, 西安, 710004)

刊名:

第三军医大学学报 [ISTIC PKU]

英文刊名:

ACTA ACADEMIAE MEDICINAE MILITARIS TERTIAE

年, 卷(期):

2005, 27(15)

被引用次数:

2次

参考文献(7条)

- 董伟华; 韩雪飞; 魏玲 蝎毒抗癌多肽对肝肿瘤的抑制作用研究[期刊论文]-中国病理生理杂志 2000(02)
- 沈东海; 高春芳; 王元和 蝎毒对人大肠癌细胞株体外抑制杀伤作用的观察[期刊论文]-实用癌症杂志 2002(04)
- 卢娜; 王辉; 杨献军 蝎毒组分III对人头颈部鳞状细胞癌细胞生长的影响[期刊论文]-中国临床药理学与治疗学 2002(06)
- Liu Y F; Ma R L; Wang S L Expression of an antitumor-analgesic peptide from the venom of Chinese scorpion *Buthus martensii karsch* in *Escherichia coli*[外文期刊] 2003(02)
- 杨建斌; 李晓雯; 董伟华 东亚钳蝎毒抗癌多肽对H22荷瘤小鼠免疫调节作用[期刊论文]-中国中药杂志 2000(12)
- Lyons S A; O'Neal J; Sontheimer H Chlorotoxin, a scorpion-derived peptide, specifically binds to gliomas and tumors of neuroectodermal origin[外文期刊] 2002(02)
- 王辉; 董珂; 孙书明 蝎素SCVIII对荷瘤小鼠淋巴细胞转化及TNF- α 水平的影响[期刊论文]-细胞与分子免疫学杂志 2002(05)

本文读者也读过(10条)

- 刘厚君. 吴艳. 林能兴. 黄琨. 李家文. 吉江增隆. 涂亚庭. LIU Hou-jun. WU Yan. LIN Neng-xing. HUANG Kun. LI Jia-wen. FURUE Masataka. TU Ya-ting 活化Stat 3和细胞周期蛋白D1蛋白在寻常性银屑病中的表达[期刊论文]-中华皮肤科杂志 2006, 39(9)
- 吴艳. 张晓冰. 刘厚君. 郑丽端. 李家文. 林云. WU Yan. ZHANG Xiao-bing. LIU Hou-jun. ZHENG Li-duan. LI Jia-wen. LIN Yun 中性内肽酶及移动相关蛋白-1在恶性黑色素瘤中的表达及意义[期刊论文]-中华病理学杂志 2007, 36(7)
- 沈旭波. 李柏. 俞超芹 5种常用中药注射剂对人正常肝细胞L-02的影响[期刊论文]-安徽中医学院学报 2004, 23(3)
- 田中伟. 彭振辉 血管内皮生长因子及其受体与银屑病的研究进展[期刊论文]-新乡医学院学报 2004, 21(3)
- 陈思远. 钱锐. 朱里. 吴艳. 黄长征. 涂亚庭 细胞周期蛋白D1和磷酸化Rb蛋白在小汗腺汗孔癌和小汗腺汗孔瘤中的表达[期刊论文]-中华皮肤科杂志 2008, 41(10)
- 戚晓敏. 单根法. 张辅贤. 钟竑. 谢晓宇. 李国庆 川芎嗪逆转肺癌细胞株多药耐药性的研究[期刊论文]-上海第二医科大学学报 2003, 23(z1)
- 刘树雷. 何威. 王儒鹏. 黎智. 吴军. 赵云. 胡小红 重组免疫毒素hIL2-Luffin P1对Hut-78细胞增殖及凋亡的影响[期刊论文]-重庆医学 2008, 37(8)
- 黄琨. 林能兴. 吴艳. 陈宏翔. 李家文. 涂亚庭. 刘厚君 MCM5蛋白在银屑病、鲍温病和鳞状细胞癌中的表达[期刊论文]-华中科技大学学报(医学版) 2008, 37(4)
- 田中伟. 彭振辉. 宋向凤 FHIT抑癌基因对人皮肤T细胞淋巴瘤Hut-78细胞的抑制作用[期刊论文]-肿瘤防治杂志 2005, 12(2)
- 张林魁. 刘山莉. ZHANG Lin-su. LIU Shan-li 中药桑寄生(Lorathlora)抗肿瘤蛋白的分离及部分性质初步

引证文献(3条)

1. 章红燕, 何福根, 王奇 全蝎抗肿瘤作用机制及临床应用研究进展[期刊论文]-中国药业 2013(1)
2. 孙爱平, 顾欢, 宋向凤, 王辉 蝎素组分III对Jurkat细胞人白细胞分化抗原25表达的影响[期刊论文]-新乡医学院学报 2009(6)
3. 陈林江, 莫志贤 全蝎抗肿瘤作用的研究进展[期刊论文]-中国中医急症 2009(11)

本文链接: http://d.g.wanfangdata.com.cn/Periodical_dsjydx200515006.aspx